# パッケージエアコン設置室における室内気流場の CFD 解析手法に関する研究 (その3) パッケージエアコン非等温吹出し気流解析における最適 P. V. 面位置の検討

正会員 ○田中佑亮 \*1 同山中俊夫 \*2 同小林知広 \*3 同 袁継輝 \*4 同 崔ナレ \*5

# 4. 環境工学- 12. 空気流動基礎- g. 吹出し気流・熱上昇流等のモデリングパッケージエアコン 吹出し気流 熱式風速計 超音波風速計 P.V. 法

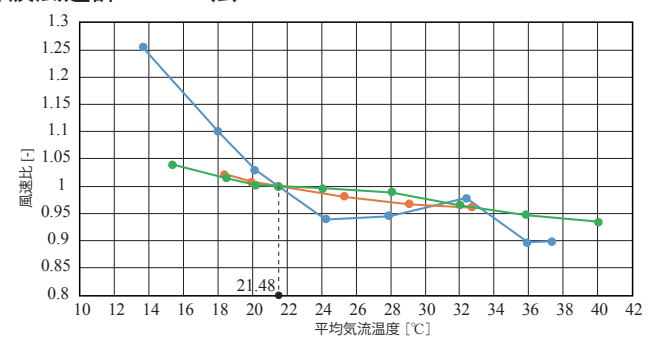
### 1. はじめに

快適な室内環境の実現には空調吹出し口からの一次気流が大きく影響する為、空調機器の吹出し気流性状の予測が不可欠である。現在日本の建物にパッケージエアコン(以下 PAC と略す)が導入されている。PAC 吹出し気流を正確に再現できるモデルは様々提案されているが確立されていない。よって本研究では、P.V. 法を用いた解析時間の短縮、解析結果の精度向上を両立する簡易的な気流モデルの提案を目的とする。本報では P.V. 面の決定を目的とし4方向吹出し気流風量及び風速分布の測定実験の結果を報告する。

#### 2. 熱式風速計温度特性検証実験

#### 2.1 実験概要

PAC 吹出し風量測定に用いた熱式風速計(レン ジ:0~30.0m/s、指向性)が有する、測定気流の 温度に対し指示値が変化する特性の検証実験を行っ た。大阪大学の実験室で実験を行った。一定の風量 を吐出し続けるファンに風量を測定する為の超音波 流量計と風量を調節する為のダンパーを金属ダクト で接続した機器を構成した。送風機の吸込み口にド ライヤーを2台設置し吹出し気流温度を調節でき る。実験方法はファンを稼動させ吹出し口における 熱式風速計の指示値が約 7m/s( 条件 A,a、条件 A.b) 又は約3m/s(条件B)程度となる様ダンパーを調整 する。吹出し気流温度を熱式風速計で確認し、概ね 定常状態を確認し、超音波流量計で風量測定・熱式 風速計での吹出し風速測定を同時に行う。風速の測 定は測定周波数が 1Hz、測定時間が 30s の平均値を 測定し、各吹出し気流温度に対し5回繰り返し行う。 次にドライヤーで気流温度を上昇し、目的の温度に 到達、定常状態になる様に調整を行い先程同様に超



● 条件 A® 図1 平均気流温度に対する風速比 音波流量計で流量測定・熱式風速計で吹出し風速測 定を行う。この手順を検証する気流温度毎に行った。

## 2.2 実験結果

ダクト吹出し風量で基準化する為に風量の平均値 を用い測定風速の補正を行い、各条件の熱式風速計 の測定結果よりそれぞれある気流温度を基準とする 気流温度に対する熱式風速計が指示する風速の比 を算出する。気流温度が 21.48℃の点で熱式風速計 が指示する風速の比が1となる様各条件時の風速 比を補正し重ね合わせた結果を図1に示す。ここで 21.48℃は第4章で述べる実験における PAC 送風条 件の平均吹出し気流温度である。実験結果は実際同 じ風速で温度が異なる気流に対して、測定する気流 の温度が高くなるにつれ指示値が相対的に小さくな る傾向が見られた。条件A,a、A,bの結果と条件B の結果を比較すると条件 A,a、A,b より条件 B の方 が低温領域で指示する風速の比が比較的大きくなる 特徴が見られた。本研究では条件Bでの実験結果 を採用し、第4章の結果の補正を行う。

# 3. 実験室概要

本報では4方向吹出しPACを対象とする等温・ 非等温条件での吹出し気流風量及び風速分布の測定 実験を行う。実験は大阪大学内のPACを2台有す る室で行った。室の平面図、天井伏図及び立面図を 図2に示す。本実験室は既往研究<sup>1)</sup>で実験を行った

CFD Analysis on Airflow in Room with Packaged Air-conditioner

(Part3) Optimal Height of P.V. Horizontal Surface for Analysis on Non-isothermal Airflow with Packaged Airconditioner

TANAKA Yusuke, YAMANAKA Toshio, KOBAYASHI Tomohiro, YUAN Jihui, CHOI Narae

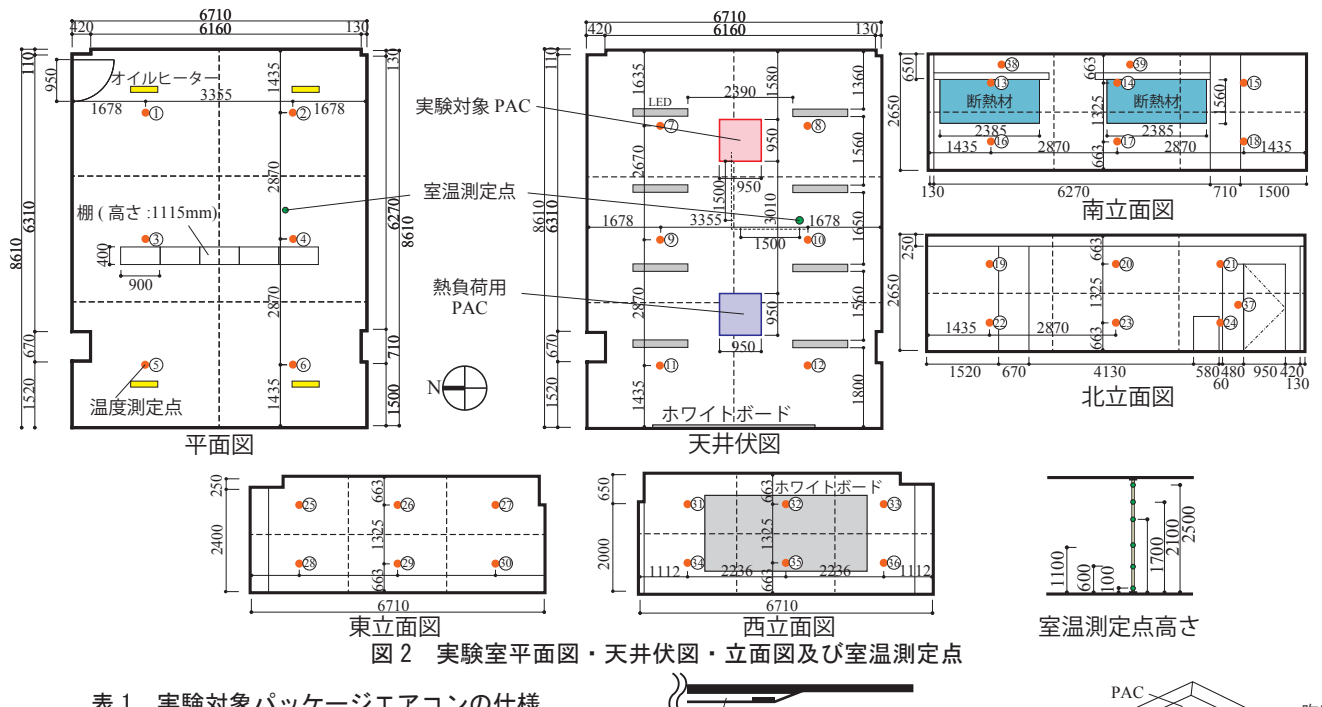


表1 実験対象パッケージエアコンの仕様

運転モード	送風・冷房・暖房・自動
風量	強・中・弱・静
風向モード	モード1~モード5・スイング

室と同様で対象とする PAC も同様である。本実験 では東側に設置されている PAC の西側吹出し口を 測定する。PACの仕様を表1に、既往研究りより明 らかな対象 PAC の風向と風向の呼称を図3に示す。 実験室の床・天井・壁面には図2中の橙色の点で示 す位置にT型熱電対を設置、また緑色の点で示す 位置に室内鉛直温度分布を測定する為にT型熱電 対を設置し第5章の実験中に同時に温度測定を行っ ている。PAC吸込み口と北側吹出し口には温湿度 計を設置し第4章・第5章の実験中同時に測定する。

#### 4. PAC 吹出し風量測定実験

#### 4.1 実験概要

本実験はPAC 送風・冷房・暖房条件における実 際の吹出し風量を明らかにし CFD 解析時の境界条 件及び第5章の実験結果の補正を行う為の実験値を 獲得する為に行う。実験対象吹出し口に PAC の吹 出し気流を整流させ周辺空気巻き込みを防止し風量 を測定し易くする為のダクトを取り付け、ダクトの 吹出し面で熱式風速計を用い風速を測定する。ダク ト吹出し面を30個に分割し測定する。寸法・測定 点を図4及び図5に示す。測定周波数は1Hz、測定 時間は30s/点である。実験は送風・冷房・暖房条 件に対し風向モード1~5の総当り15条件で行う。

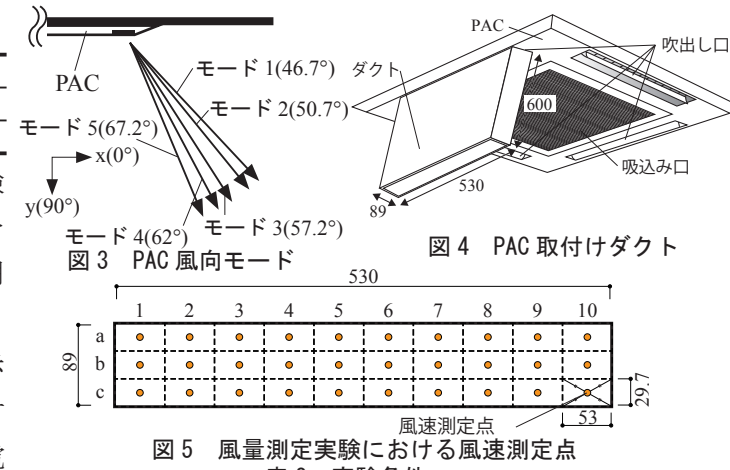


表 2 実験条件

	風量設定	強	
送風	設定温度	_	
	室内負荷	_	
冷房	風量設定	強	
	設定温度	24℃	
	室内負荷	熱負荷用 PAC (暖房・28℃・弱)	
		オイルヒーター (500W)×4	
暖房	風量設定	強	
	設定温度	24°C	
	室内負荷	熱負荷用 PAC (冷房・19℃・弱)	

実験条件を表2に示す。

# 4.2 実験結果

実験結果を表3、表4に示す。表3は運転条件・ 風向モード毎の熱式風速計の温度特性を考慮しない 測定結果である。結果を風向モード間で比較すると 値のばらつきは見られるものの有意な傾向は見られ なかった。 $\mathbf{5}$ 4の $\delta$ は測定機器の温度特性を考慮し た PAC 運転条件間の風量比であり、実験対象 PAC

表 4 PAC 送風条件を基準とした補正平均風量比

	吹出し平均温度 $\overline{t}$ [°C]	温度特性による風速比γτ	平均風量 $Q[m^3/h]$	補正平均風量 $Q'[m^3/h]$	補正平均風量比 $\delta$
送風	21.5	1.0	417.7	417.7	1.0
冷房	15.2	1.2	386.2	322.2	0.8
暖房	35.2	0.9	446.0	488.0	1.2

表 3 吹出し風量測定実験結果(温度特性補正なし)

ス・スロの海里のための間が、温気下に間上のの方					
	PAC 吹出し風量 [m³/h]				
風向	送風	冷房	暖房		
モード1	419.3	375.4	433.7		
モード2	425.1	372.1	439.8		
モード3	419.3	404.2	451.8		
モード4	407.9	379.9	449.9		
モード5	417.0	399.4	454.5		
平均値	417.8	386.2	445.9		

∢E W▶	_
○: 原点 00 00 00 00 00 00 00 00 00 00 00 00 00	•
PAC <b>25</b> [mm] 間隔	
100 1000 50 [mm] 間隔	
図 6 風速測定点位置	-

表 5 PAC 吹出し・吸込み気流温度時間平均値

	送風[℃]		冷房 [℃]		暖房 [℃]	
風向 モード	吹出し	吸込み	吹出し	吸込み	吹出し	吸込み
モード1	25.8	25.8	14.8	24.5	42.2	24.5
モード2	25.4	25.5	13.2	24.4	39.8	24.8
モード3	26.6	26.4	13.2	24.0	39.6	24.8
モード4	-	-	14.2	26.0	39.5	24.6
モード5	27.0	26.9	14.0	26.0	40.4	24.2

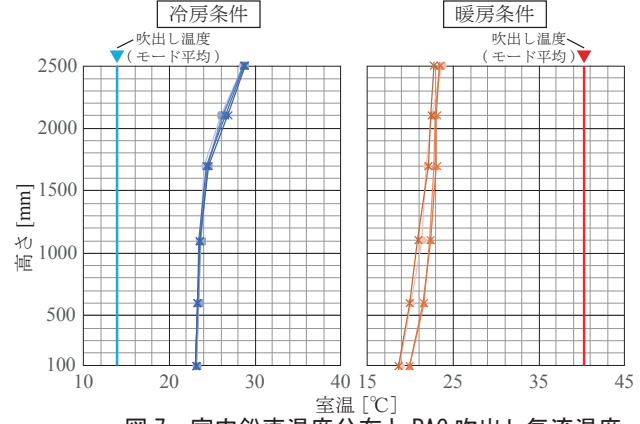


図7 室内鉛直温度分布と PAC 吹出し気流温度

の吹出し風量は、「強」の風量設定で送風条件を基準として冷房条件では約23%減少し暖房条件では約17%増加する結果となった。

# 5. PAC 吹出し気流風速分布測定

## 5.1 実験概要

本実験は最適な P.V. 面位置の検討を行う際に必要な PAC 吹出し気流風速分布を獲得する為に行った。本 実験も実験対象 PAC 西側吹出し口を対象に行った。 PAC 吹出し口の図芯を通り実験室を東西に分断する鉛直断面上の風速測定点(図6)にて超音波風速計(レンジ:0~10m/s、精度:±(3%reading+0.05m/s))を用い三次元方向の風速を測定する。測定周波数は 10Hz、測定時間は 60s/ 点である。実験条件は第4章の実験と同様である(表2)。

## 5.2 実験結果

実験結果と考察を示す。PACの吹出し・吸込み 気流温度は表5の値である事が分かった。冷房・暖 房条件の室内鉛直温度分布とPAC吹出し温度は図 7に示す関係となった。図8、図9に風速ベクトル 図を示す。送風条件の風速ベクトルは両ベクトル図 に同じ測定結果を示す。表6に風速のx成分・y成 分・スカラー量を示す。図8、図9、表6はPAC吹 出し風量の違いを考慮する為に測定値に第3章の結果を用い、PACが同じ風量を吹出したと仮定した場合の風速へ補正をする為、測定値を $\delta$ で除した結果を示す。図 $\delta$ 、図 $\delta$  から全条件で風速ベクトルは $\delta$  y=100[mm の位置で比較的一致する傾向が見られる。 $\delta$  からも同様の考察ができる。以上より送風・冷房・暖房条件での風速が風向モード毎に最も一致するのは $\delta$  y=100[mm] の位置であり、この位置が本研究での最適 $\delta$  P.V. 面位置と考えられる結論となった。

## 6. おわりに

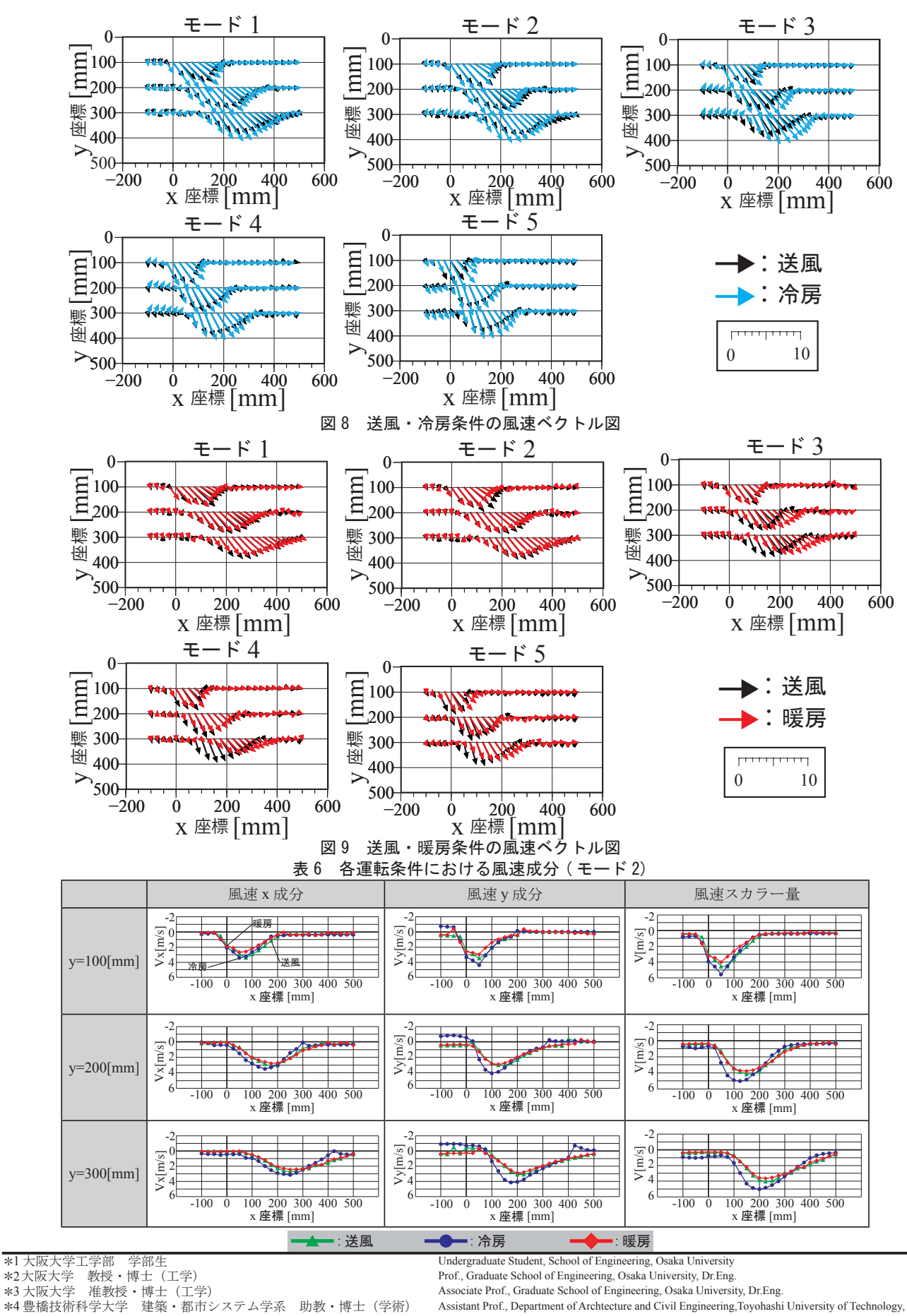
本報では P.V. 法を用いたパッケージエアコン吹出し気流の CFD 簡易再現手法を目的とし最適な P.V. 面位置の検討を行った。次報では P.V. 面位置を天井からの高さ 100mm として CFD 解析を行い、解析結果の比較及び精度の検証を行う。

#### -謝辞

本研究は三菱電機(株)との共同研究によるものであり、ご協力 頂きました関係者各位に深く感謝を申し上げます。また本研究の遂 行にあたり多大なご尽力を頂いた安田智一氏(当時大阪大学大学院 生)に深謝致します。

#### - 参考文献 -

1) 安田智一、山中俊夫、小林知広、崔 ナレ: 時変動するエアコン吹出し気流の CFD 解析手法に関する研究(その5) X 型プローブによる4 方向吹き出し PAC からの気流特性の把握、平成30 年度空気調和・衛生工学会近畿支部学術研究発表会論文集、A-75、2019.03



\*5 大阪大学 特任助教授

Associate Prof., Graduate School of Engineering, Osaka University, Dr.Eng.

Assistant Prof., Department of Archtecture and Civil Engineering, Toyohashi University of Technology, Ph.D. Specially Appointed Prof., Graduate School of Engineering, Osaka University